

## III-A49

## 自然堆積土の一軸圧縮強度特性に及ぼす試料の保存期間の影響

防衛大学校 (学) 白川 修治・中村 史則  
(正) 正垣 孝晴・木暮 敏二

## 1. はじめに

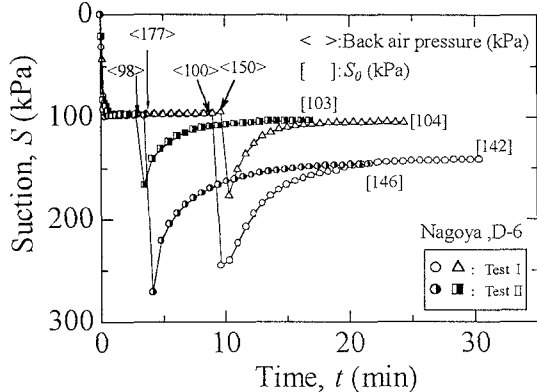
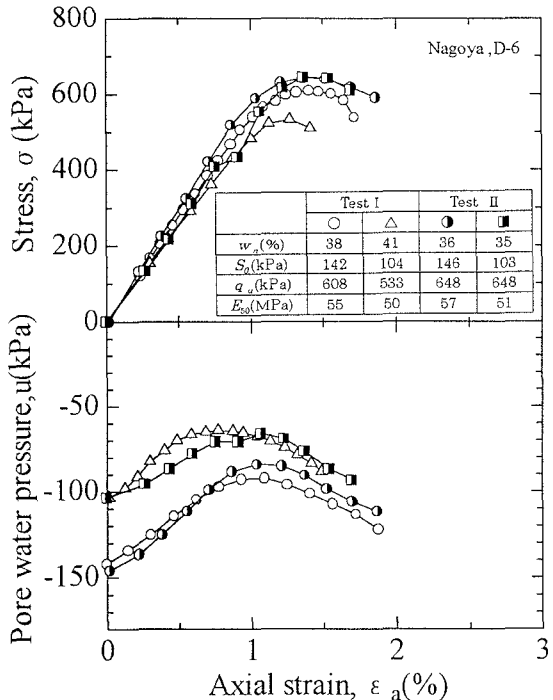
一軸圧縮試験は、元来非排水条件が成立する下で有効な試験法である。そして、この試験から得られる強度特性は応力解放や機械的攪乱に敏感に反応すると言われている。本稿では前者の影響を検討するために、有効土被り圧  $\sigma'_{vo}$  の異なる自然堆積土を採取し、サンプラーから押し出した試料の含水比の変化がないようにして大気圧下で保存し、この間の応力解放が一軸圧縮強度特性に及ぼす影響を実験的に検討する。

## 2. 供試土と実験方法

供試土は、固定ピストン式シンウォールサンプラーを用いて深度  $z$  が-(19.5~20.4)m から採取した沖積の熊本粘土と、ロータリー式 2 重管サンプラーを用いて  $z$  が-(62.2~63.0)m から採取した洪積熱田粘土である。 $\sigma'_{vo}$  はそれぞれ 87kPa、438kPa である。塑性指数  $I_p$  は、熊本粘土で 46、熱田粘土で 23 である。サンプラーから押し出した長さ 5cm の試料片からは、直径  $d=15$  mm、高さ  $h=35$  mm の S 供試体が 10 個作成できる。試料採取して約 10 日後に、それぞれ 2 個の供試体を作成して一軸圧縮試験を実施し (Test I)、さらに熊本粘土で 52 日、熱田粘土で 28 日後にそれぞれ 2 個の供試体の一軸圧縮試験を行なった (Test II)。この間試料片は 17°C の恒温室で保存した。含水比の変化を防ぐための方策は、サランラップで 2 重にシールした後、ビニール袋に入れて密封した。Test I の供試体の含水比  $w_n$  の平均値は、それぞれ 88%、40% であった。一軸圧縮試験は、S 供試体を使用し、一気圧以上のサクション  $S$  が測定できる携帯型一軸圧縮試験機<sup>1)</sup> によってサクション  $S$  を測定した後、ひずみ速度  $\dot{\varepsilon} = 1\%/\text{min}$  で圧縮せん断した。

## 3. 強度特性に及ぼす試料の応力解放の影響

図-1 は、熱田粘土の  $S$  と時間  $t$  の関係である。時間軸の原点はセラミックディスク表面の水を拭き取った時である。熱田粘土は一気圧以上の  $S$  を保持しているため、 $S$  の  $t$  に対する変化を見ながら 98~177kPa の空気圧を供試体表面に負荷し、 $S$  が一定値になった時の値  $S_0$  を測定した。 $\sigma'_{vo}$  が大きく

図-1  $S$  と  $t$  の関係図-2  $\sigma \cdot u$  と  $\varepsilon_a$  の関係

キーワード 粘性土・一軸圧縮試験・サクション・応力解放

連絡先：神奈川県横須賀市走水 1-10-20 Tel 0468-41-3810(内)2340 FAX 0468-44-5913

(438kPa)、 $I_p$ が小さい(23)にも関わらず、 $S \sim t$ 関係、 $S_o$ 値に応力解放を受けた期間の差(28日)が与える影響は小さいと判断される。また、これらのこととは熊本粘土に対しても同様であった。

図-1のように $S_o$ を測定した後の同じ供試体に対して行なった一軸圧縮試験の応力 $\sigma$ ・間隙水圧 $u$ と軸ひずみ $\epsilon_a$ の関係を図-2に示す。せん断によって $S$ が正圧になることがあるため、図-2ではせん断中の $S$ を $u$ としている。したがって、 $\epsilon_a = 0$ の $u$ は $S_o$ 値である。図-2には各供試体の $w_n, S_o, q_u, E_{50}$ の値を表にまとめている。Test II の $w_n$ はTest I のそれより平均で4%小さくなっている。これによつて、Test II の $S_o, q_u$ 値はTest I のそれより、それぞれ平均で2%, 14%程度大きくなっている。しかし、 $E_{50}$ 値には特徴的な差はみられない。

#### 4. 原位置の非排水強度の推定に及ぼす試料の保存期間の影響

正垣・丸山<sup>1)</sup>は、サンプラー内の乱れの程度の異なる試料の $S_o$ と $q_u$ を測定し、原位置の非排水強度を推定する方法を提案している。図-3と図-4はこの推定法を適用して、原位置強度を推定するための補正值 $R(q_u)^*$ を得るために、それぞれ熱田粘土と熊本粘土の $R(q_u)$ と $p_m/S_o$ の関係を示したものである。ここで、 $R(q_u)$ は $q_u$ の最大値 $q_{u(\max)}$ に対する各供試体の $q_u$ の比であり、 $p_m$ は平均圧密圧力である。熱田粘土の $K_o$ はLaddら<sup>2)</sup>が示した関係式から0.7とした。また熊本粘土は0.5と仮定した。

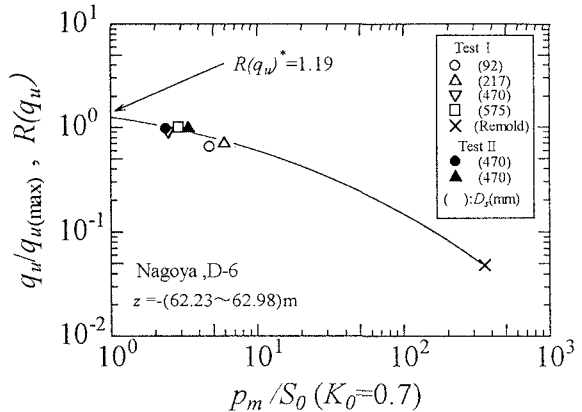
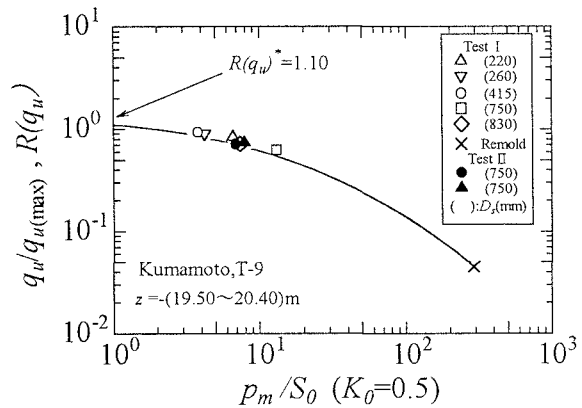
図中の曲線は、Test I のサンプラーの刃先からの距離 $D_s$ の異なる供試体によるプロットの回帰曲線であるが、Test II から得たプロットは、同じ $D_s$ のプロットと比較した場合、僅かながら図の左上に移動しているものの、この曲線上に位置している。このことは、原位置強度の推定に及ぼす試料の保存期間(応力解放)の影響が小さいことを意味している。

#### 5. おわりに

熊本粘土と熱田粘土の場合、サンプラーから押し出した試料を28日間(熊本粘土では52日)大気圧下(応力解放状態)に置いても、含水比の変化が数%であれば、一軸圧縮試験はこの間の応力解放の影響が小さい安定的な強度を得る試験法であることが分かった。今後は、保存期間をさらに長く取った場合や他の自然堆積土に対しても同様な検討を予定したい。

#### 参考文献

- 1) 正垣・丸山：サンプラー内の乱れの程度の異なる試料を用いた原位置の非排水せん断強度の推定法、土と基礎、Vol.46、No.4、29~32、1998。
- 2) Ladd et al: Stress Defomation and Strength Characteristics, State of the Art Report, Proceeding of 9th I.C.S.M.F.E., Vol, pp.421-494, 1977.

図-3  $R(q_u)$ と $p_m/S_o$ の関係図-4  $R(q_u)$ と $p_m/S_o$ の関係